

防衛大学校 (田) 山口 晴幸
 同上 大平 至徳
 同上 木暮 敏二

1. はじめに ピートのせん断特性に関する研究は国内外において極めて多くなく、解明して行かなければならぬ問題が多く残されている。著者は不擾乱ピートを対象とした軸対称三軸圧縮試験を実施し、ピートの基本的せん断特性の一端を明らかにしてきた。本文は、一見統一性の見られない挙動を呈するものと考らねがちなピートのせん断特性を系統立てて評価するための一つの試みとして、カムクレイ理論にダイレインシーカーブを組み込む三田地らの手法を適用して、ピートの非排水応力～ひずみ関係および強度特性について考察した結果を記述する。

2. 実験 埼玉県大宮市郊外の泥炭地に鉛直にシンオーラルチーブを人力で貫入して採取した不擾乱試料を用い、通常の三軸セル内へ等方正規および過圧密された供試体について、定ひずみ速度(ひずみ速度 $\approx 0.05\%/\text{min}$)非排水三軸圧縮試験を実施した。ピート試料の物理的性質を表-1に示す。なお、試験条件等に関する詳細は前報を参照。

3. 考察 正規圧密粘性土を対象として、カムクレイ理論にダイレインシーカーブを組み入れて諸種の非排水条件下での応力～ひずみ増分関係は次式で与えられる。 $d\varepsilon = -\frac{1}{M} \frac{(F'(\eta))^2}{\eta F''(\eta)} d\eta$ — (1),

$$\frac{\partial P}{\partial e_0} + F(M)d\eta = 0 — (2)$$

ここに、 e_0 は偏差ひずみ、 P は圧縮指数($C_{c0}, 3$)、 η は応力比、 $\eta = \sigma/P$, $\sigma = (P + 2e_0)/3$, e_0 はせん断開始時の間隙比

ν は後述する(5)式で与えられ、膨張指指数($\nu = C_c/2, 3$)と同機能を持つ係数、 $F(M)$ は $F(M)$ の微分形。ここで正規圧密ピートの $F(\eta)$ を次式より計算されるダイレインシーカーブ相当量 \bar{V}_d ～ η 関係の実験結果に基づき、図-1に示すように、応力比 η の一次式で表わすこととする。 $\bar{V}_d = -\frac{e_0}{1+2e_0} \left[1 - \left(\frac{P}{P_0} \right)^{-\bar{C}_c} \right]$ — (3),

$F(M) = 0, (\eta < \eta_0) \& F(M) = \mu(\eta - \eta_0), (\eta_0 \leq \eta \leq M)$ — (4) ここで、 P_0 はせん断開始時の P , M は限界状態であり、 \bar{C}_c は $\eta = 1$ の P 面上での正規圧密線の勾配、 μ は $F(M)$ ～ η 関係直線の勾配。ここで、図-2に示すように、 $e = \ln P$ 面上でのピートの正規圧密曲線を勾配 ν と入 $(C_c/2, 3)$ との二つの直線で近似し、 $P > P_m$ 領域での正規圧密ピートを対象とし、さらに粘着切片 $C = 0$ として、次の二つのケースについて予測計算を試み実験値との検証を行った。

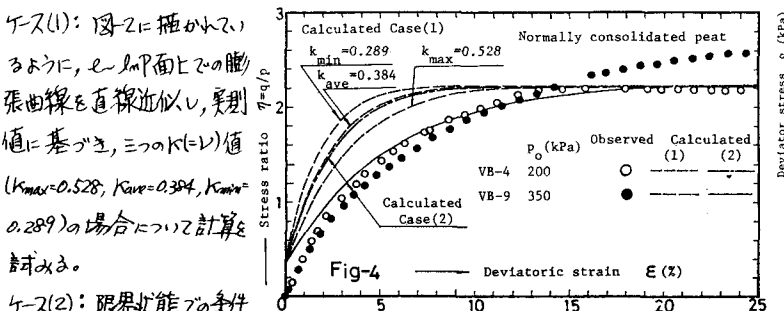


Table-1 Undisturbed Ohmiya Peat (VB-Sample)

Natural water content (%)	500 - 1000
Specific gravity	1.55 - 1.90
Ignition loss (%)	50 - 78
Degree of humification (%)	45 - 53
Liquid unit weight (tf/m^3)	100
Liquid limit (%)	-
Plastic limit (%)	-

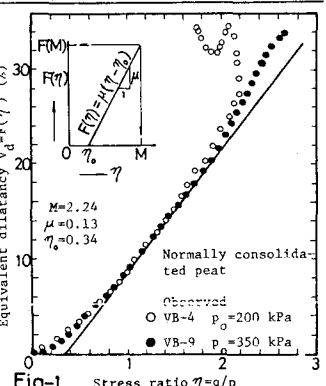
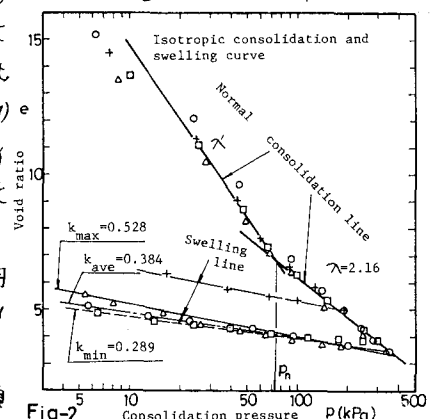
Fig-1 Stress ratio $\eta = q/p$ 

Fig-2

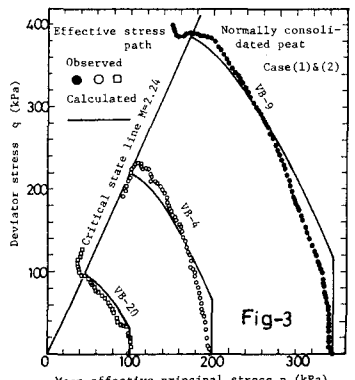


Fig-3

$(\eta = M \text{ で}, d\eta/d\varepsilon = 0)$ を適用して次式で求められる ε 値を用いて計算を試みる。
 $\nu = \varepsilon - (1 + e_0)MF(M) \quad \dots (5)$

両ケースの応力経路式および応力比～ひずみ式はそれぞれ次式で表わされる。

$$\text{Case(1), (2)}: P = P_0 (\eta \leq \eta_0), \frac{\ln P}{1 + e_0} + \mu(\eta - \eta_0) = 0 \quad (\eta_0 \leq \eta \leq M) \quad \dots (6)$$

$$\text{Case(1)}: \varepsilon = 0 \quad (0 \leq \eta \leq \eta_0), \varepsilon = -\frac{\mu}{M} \ln \left(\frac{\eta - M}{\eta_0 - M} \right) \quad (\eta_0 \leq \eta \leq M) \quad \dots (7)$$

$$\text{Case(2)}: \varepsilon = 0 \quad (0 \leq \eta \leq \eta_0), \varepsilon = -\frac{\mu}{M} \ln \left(\frac{\mu M - \frac{\lambda}{1 + e_0}}{\mu M_0 - \frac{\lambda}{1 + e_0}} \right) \quad (\eta_0 \leq \eta \leq M) \quad \dots (8)$$

ところで、三田らの粘性土の非排水強度算定に関する提案式と同様に、過圧密比 ν の非排水圧縮強度 $(C_u/P_0)_{OP}$ と間隙圧係数 $(A_f)_{OP}$ は正規圧密比 ν のかわりに、 \bar{C}_s/\bar{C}_c を用いることによって次式で近似できることを前報で示した。
 $(C_u/P_0)_{OP} = (C_u/P_0)_{NP} \cdot (OCR)^{-1} \quad \dots (9)$, $(A_f)_{OP} = (A_f)_{NP} - \left[1 - (OCR)^{\frac{1}{2}} \right] / 2(C_u/P_0)_{NP} \quad \dots (10)$
 ここで、 \bar{C}_s/\bar{C}_c は $\ln e_0 - \ln p_0$ 上面での膨張線の勾配、 $(C_u/P_0)_{NP}$, $(A_f)_{NP}$ は正規圧密比 ν の C_u/P_0 と A_f 。
 ところで、(6), (9), (10) 式より次式が得られる。

$$\text{Case(1)}: \left\{ (C_u/P_0)_{OP} = \frac{M}{2} \exp \left[\frac{(k-\lambda)(M-\eta_0)}{M} \right] (OCR)^{1-\bar{C}_s/\bar{C}_c} \right\} \quad \dots (11)$$

$$(A_f)_{OP} = (A_f)_{NP} - \frac{1}{M} \exp \left[\frac{(k-\lambda)(M-\eta_0)}{M} \right] \left[1 - (OCR)^{\frac{\bar{C}_s/\bar{C}_c - 1}{2}} \right] \quad \dots (12)$$

$$\text{Case(2)}: \left\{ (C_u/P_0)_{OP} = \frac{M}{2} \exp \left[\frac{(1+e_0)\mu(M-\eta_0)}{M} \right] (OCR)^{1-\bar{C}_s/\bar{C}_c} \right\} \quad \dots (13)$$

$$(A_f)_{OP} = (A_f)_{NP} - \frac{1}{M} \exp \left[\frac{(1+e_0)\mu(M-\eta_0)}{M} \right] \left[1 - (OCR)^{\frac{\bar{C}_s/\bar{C}_c - 1}{2}} \right] \quad \dots (14)$$

ところで、表2に示す諸係数値を用い、両ケースでの応力比～ひずみ関係、有効応力経路、非排水強度および間隙圧係数による算結果と実験結果と照合して示すのが図3～8である。図9は、次式で示すLaddらとMurthyらの粘性土に関する実験式を用いた試験結果。

上記用いて、(2)より必要な諸係数を求め、非排水強度 $\lambda = 2.16$, $k_{max} = 0.528$, $M = 2.24$, $k_{ave} = 0.384$, $\mu = 0.13$, $k_{min} = 0.289$, $n = 0.34$, $e_0 = 5.05 (p_0 = 200 \text{ kPa})$, $(OCR)^m = 0.83$, $Murthy \text{ 式}: (C_u)_{OP} = \frac{(C_u)_{NP}}{a \cdot (OCR) + b} \quad \dots (16)$

上記用いて、(2)より必要な諸係数を求め、非排水強度 $\lambda = 2.16$, $k_{max} = 0.528$, $M = 2.24$, $k_{ave} = 0.384$, $\mu = 0.13$, $k_{min} = 0.289$, $n = 0.34$, $e_0 = 3.46 (p_0 = 350 \text{ kPa})$, $\bar{C}_s/\bar{C}_c = 0.22$, $e_0 = 6.47 (p_0 = 100 \text{ kPa})$ 。

上述したムクレ理論を背景とした三田らの方法にて

基づいて、ピットの応力～ひずみ関係からして非排水強度について実験結果を試みた。以上の結果から、粘性土の非排水強度のひずみ評価方法に関する既存の理論あるいは実験結果の整理方法を若干修正して、適用するところにて、正規圧密比は、系統立てかせし膨張圧を考慮できる可能性を示すことができた。今後、地盤的状況から、有機物自身の圧縮強度を定量的評価できることに期待し、構成式を組み込むことを検討していくたい。

(脚注) 松井繁生・山崎信吾・西野一郎・斎藤文彦 (1976) 山口: (1981): 土力学第2回年次講演集, pp.242-243, 2山口。

(1982): 第1回国工学会研究会年次講演集, pp.295-298, 3山口。

木村ら (1982): 土力学第3回年次講演集, pp.295-298, 4山口。

山口 (1983): 土力学第4回年次講演集, pp.103-104, 5山口。

木村ら (1983): 土力学第5回年次講演集, pp.103-104, 6山口。

Thompson et al. (1978): The Mechanics of Soils, McGRAW-HILL。

MITACHI et al. (1979): SIT, Vol.19, No.2, pp.65-61, 3山口。

MITACHI et al. (1976): SIT, Vol.16, No.1, pp.45-58, 9山口。

Ladd et al. (1977): Proc. 9th ICSMFE, Vol.3, pp.121-124。

MURTHY et al. (1982): SIT, Vol.22, No.1, pp.78-81。

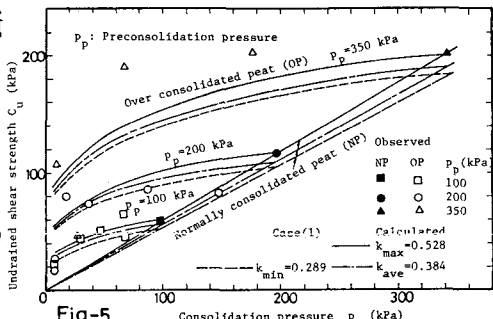


Fig-5 Unloaded shear strength C_u (kPa) vs Consolidation pressure p_o (kPa)

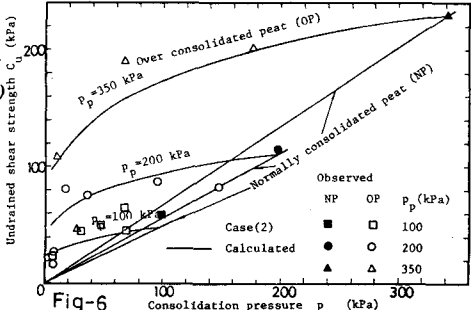


Fig-6 Unloaded shear strength C_u (kPa) vs Consolidation pressure p_o (kPa)

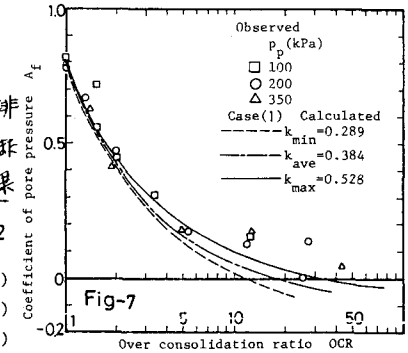


Fig-7 Coefficient of pore pressure A_f vs Over consolidation ratio OCR

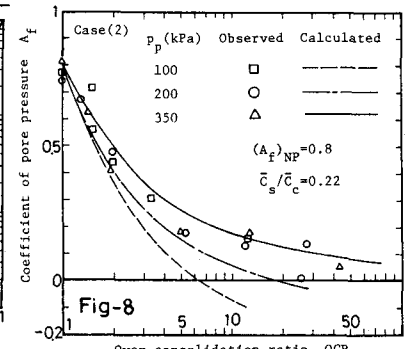


Fig-8 Coefficient of pore pressure A_f vs Over consolidation ratio OCR

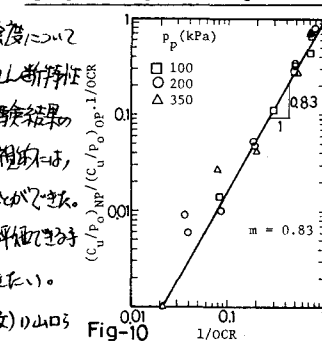


Fig-10

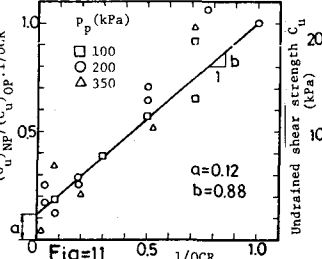


Fig-11

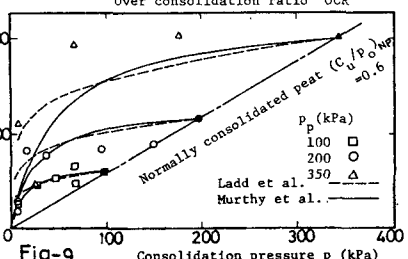


Fig-9 Unloaded shear strength C_u (kPa) vs Consolidation pressure p_o (kPa)